

ЛОКАЛЬНО-ОДНОРОДНЫЕ БЕССТОЛКНОВИТЕЛЬНЫЕ  
СУСПЕНЗИИ В ПРИБЛИЖЕНИИ ЭЙЛЕРА

Ю. А. Буевич, Е. Н. Ившин, В. Г. Марков  
(Москва)

Псевдотурбулентные движения фаз и внутренняя структура монодисперсной локально-однородной супензии частиц в капельной жидкости рассмотрены в пренебрежении производными динамических переменных, описывающих среднее течение супензии. При этом число столкновительной диссипации, выражющее отношение диссипативной силы, обусловленной ускорением жидкой фазы при скачкообразных изменениях скоростей сталкивающихся частиц, к силам вязкого взаимодействия, предполагается малым. Динамические уравнения, определяющие движение супензии в континуальном приближении, и уравнение баланса псевдотурбулентной энергии частиц получены в приближении, аналогичном приближению Эйлера в гидродинамике однофазной среды.

1. Спектральные меры псевдотурбулентных случайных процессов. Статистические уравнения для псевдотурбулентных пульсаций объемной концентрации супензии  $\rho'$ , давления  $p'$ , скоростей жидкости  $v'$  и частицы  $w'$  и следующие из них алгебраические уравнения для спектральных мер случайных функций получены в [1]. Имея в виду получить далее полную систему уравнений, определяющих среднее движение супензии в «приближении Эйлера», т. е. с точностью до членов нулевого порядка по отношениям масштабов псевдотурбулентности к соответствующим масштабам среднего движения, запишем уравнения для спектральных мер, пренебрегая производными динамических переменных

$$\begin{aligned} & (\omega + \mathbf{u}\mathbf{k}) d\mathbf{Z}_v - (1 - \rho) \mathbf{k} d\mathbf{Z}_v = 0 \\ & id_1(1 - \rho)(\omega + \mathbf{u}\mathbf{k}) d\mathbf{Z}_v = -i(1 - \rho) \mathbf{k} d\mathbf{Z}_p - \mu_0 S (k^2 d\mathbf{Z}_v + \frac{1}{3} \mathbf{k} (\mathbf{k} d\mathbf{Z}_v)) - \\ & - d_1 \rho [\beta K + i\xi\omega + \gamma\eta (1 + i \operatorname{sign} \omega) \sqrt{|\omega|}] (d\mathbf{Z}_v - d\mathbf{Z}_w) - d_1 \beta K' \mathbf{u} d\mathbf{Z}_p \\ & id_2 \omega d\mathbf{Z}_w = -i \mathbf{k} d\mathbf{Z}_p + d_1 [\beta K + i\xi\omega + \gamma\eta (1 + i \operatorname{sign} \omega) \sqrt{|\omega|}] (d\mathbf{Z}_v - d\mathbf{Z}_w) + \\ & + d_1 \beta K' \mathbf{u} d\mathbf{Z}_p - d_1 \xi d\mathbf{Z}_w, \quad K' \equiv dK / d\rho \quad (1.1) \\ & \beta = \frac{9v_0}{a^2}, \quad \gamma = \frac{9}{2a} \left( \frac{v_0}{\pi} \right)^{1/2}, \quad \xi = \frac{c}{4} \frac{N}{n} \left[ \xi + 4\gamma\eta \left( \frac{n}{N} \right)^{1/2} \right] \end{aligned}$$

Здесь приняты обозначения работ [1,2], но знак  $\langle \rangle$  в обозначениях динамических переменных опущен. В (1.1) использовано представление для силы межфазового взаимодействия, верное для  $R \lesssim 1$ , где  $R = 2au / v_0$  — число Рейнольдса. Кроме того, ниже предполагаем течение локально-однородным в том смысле, что в нем не образуются крупные агрегаты частиц, пузыри, заполненные только дисперсионной средой, и т. п.

Перейдем, как и в [2], к безразмерным переменным по формулам

$$d\mathbf{Z}_v' = \frac{d\mathbf{Z}_v}{u}, \quad d\mathbf{Z}_w' = \frac{d\mathbf{Z}_w}{u}, \quad d\mathbf{Z}_p' = \frac{d\mathbf{Z}_p}{d_1 \beta K u a}, \quad \omega' = \frac{a\omega}{u}, \quad \mathbf{k}' = a\mathbf{k} \quad (1.2)$$

После преобразования получим из (1.1) и (1.2) следующие безразмерные уравнения:

$$(\omega' + \mathbf{u}_0 \mathbf{k}') dZ_\rho - (1 - \rho) \mathbf{k}' d\mathbf{Z}_v' = 0 \quad (1.3)$$

$$i \frac{r}{\kappa} \omega' d\mathbf{Z}_w' = -i \mathbf{k}' dZ_p' + \left[ 1 + ir\xi\omega' + \frac{3}{\sqrt{2\pi}} \eta (1 + i \operatorname{sign} \omega) \sqrt{r|\omega'|} \right] \times \\ \times (d\mathbf{Z}_v' - d\mathbf{Z}_w') + \frac{d \ln K}{d\rho} \mathbf{u}_0 dZ_\rho - \alpha d\mathbf{Z}_w'$$

$$\rho \left( i \frac{r}{\kappa} \omega' + \alpha \right) d\mathbf{Z}_w' + [ir(1 - \rho)(\omega' + \mathbf{u}_0 \mathbf{k}') + sk'^2] d\mathbf{Z}_v' = \\ = -i \mathbf{k}' dZ_p' - \frac{1}{3} sk' (\mathbf{k}' d\mathbf{Z}_v')$$

$$\kappa = \frac{d_1}{d_2}, \quad \mathbf{u}_0 = \frac{\mathbf{u}}{u}, \quad s = \frac{2}{9} \frac{S}{K}, \quad r = \frac{R}{9K} = \frac{2}{9K} \frac{ua}{v_0} \ll 1, \quad \alpha = \frac{\xi}{3K}$$

При  $\omega' = 0$  уравнения (1.3) сводятся к уравнениям в [2].

Параметр  $\alpha$  в (1.3) характеризует отношение диссипативных сил, возникающих за счет ускорения присоединенных масс жидкости при скачкообразных изменениях скоростей частиц при столкновениях, к силам вязкого взаимодействия между фазами супензии [1]. Если концентрация  $\rho$  супензии не слишком близка к концентрации  $\rho_*$  слоя частиц в плотноупакованном состоянии, можно считать «число столкновительной диссипации»  $\alpha$  малым (см. обсуждение в [2]). Ниже рассматриваем супензию только в пренебрежении прямыми столкновениями частиц, т. е. при  $\alpha = 0$ .

Пренебрегая в (1.3) параметрами  $\alpha$  и  $r$ , получаем решение этих уравнений в форме

$$-i \mathbf{k}' dZ_p' = \frac{dZ_\rho}{i(r/\kappa)(1 - \rho)\omega' + 1} \left[ i \frac{r}{\kappa} \omega' \left( \rho \frac{d \ln K}{d\rho} \mathbf{u}_0 \mathbf{k}' + \right. \right. \\ \left. \left. + \left( \rho + \frac{4}{3} sk'^2 \right) \frac{\omega' + \mathbf{u}_0 \mathbf{k}'}{1 - \rho} \right) + \frac{4}{3} sk'^2 \frac{\omega' + \mathbf{u}_0 \mathbf{k}'}{1 - \rho} \right] \frac{\mathbf{k}'}{k'^2} \quad (1.4)$$

$$d\mathbf{Z}_v' = \left[ i \frac{r}{\kappa} \omega' (\rho + sk'^2) + sk'^2 \right]^{-1} \left[ - \left( i \frac{r}{\kappa} (1 - \rho) \omega' + 1 \right) i \mathbf{k}' dZ_p' - \right. \\ \left. - \left( i \frac{r}{\kappa} \omega' \left( \rho \frac{d \ln K}{d\rho} \mathbf{u}_0 + \frac{s}{3} \frac{\omega' + \mathbf{u}_0 \mathbf{k}'}{1 - \rho} \mathbf{k}' \right) + \frac{s}{3} \frac{\omega' + \mathbf{u}_0 \mathbf{k}'}{1 - \rho} \mathbf{k}' \right) dZ_\rho \right]$$

$$d\mathbf{Z}_w' = \left[ i \frac{r}{\kappa} \omega' (\rho + sk'^2) + sk'^2 \right]^{-1} \left[ -(1 + sk'^2) i \mathbf{k}' dZ_p' + \right. \\ \left. + sk'^2 \left( \frac{d \ln K}{d\rho} \mathbf{u}_0 - \frac{1}{3} \frac{\omega' + \mathbf{u}_0 \mathbf{k}'}{1 - \rho} \frac{\mathbf{k}'}{k'^2} \right) dZ_\rho \right]$$

В общем случае вычисления, основанные на соотношениях (1.4), весьма сложны и громоздки. Но, как легко видеть, возможны два значительно более простых случая: 1)  $\kappa \gg 1$ , когда  $r/\kappa \ll 1$ , и 2)  $\kappa \ll 1$ , так что  $r/\kappa \gg 1$ . Ниже для определенности рассматриваем только супензии или эмульсии в капельных жидкостях, когда  $r/\kappa \ll 1$ . Второй случай, характерный для газовзвесей при не слишком малых  $r$ , нуждается в независимом анализе.

При  $r/\kappa \ll 1$  из (1.4) имеем соотношения

$$-i \mathbf{k}' dZ_p' = \frac{4}{3} sk'^2 \frac{\omega' + \mathbf{u}_0 \mathbf{k}'}{1 - \rho} \frac{\mathbf{k}'}{k'^2} dZ_\rho, \quad d\mathbf{Z}_v' = \frac{\omega' + \mathbf{u}_0 \mathbf{k}'}{1 - \rho} \frac{\mathbf{k}'}{k'^2} dZ_\rho \quad (1.5)$$

$$d\mathbf{Z}_w' = \left[ \frac{d \ln K}{d\rho} \mathbf{u}_0 + \left( 1 + \frac{4}{3} sk'^2 \right) \frac{\omega' + \mathbf{u}_0 \mathbf{k}'}{1 - \rho} \frac{\mathbf{k}'}{k'^2} \right] dZ_\rho$$

Соответствующие выражения для безразмерных спектральных плотностей имеют вид

$$\begin{aligned}
 \Psi'_{\rho,v}(\omega', \mathbf{k}') &= \frac{\omega' + u_0 k'}{1 - \rho} \Psi'_{\rho,\rho}(\omega', \mathbf{k}') \\
 \Psi'_{\rho,w}(\omega', \mathbf{k}') &= \left[ \frac{d \ln K}{d\rho} \mathbf{u}_0 + \left( 1 + \frac{4}{3} sk'^2 \right) \frac{\omega' + u_0 k'}{1 - \rho} \frac{\mathbf{k}'}{k'^2} \right] \Psi'_{\rho,\rho}(\omega', \mathbf{k}') \\
 \Psi'_{v,v}(\omega', \mathbf{k}') &= \left( \frac{\omega' + u_0 k'}{1 - \rho} \right)^2 \frac{\mathbf{k}' * \mathbf{k}'}{k'^4} \Psi'_{\rho,\rho}(\omega', \mathbf{k}'), \quad \mathbf{a} * \mathbf{b} = \|a_i b_j\| \quad (1.6) \\
 \Psi'_{w,w}(\omega', \mathbf{k}') &= \left[ \left( \frac{d \ln K}{d\rho} \right)^2 \mathbf{u}_0 * \mathbf{u}_0 + \left( 1 + \frac{4}{3} sk'^2 \right) \frac{d \ln K}{d\rho} \frac{\omega' + u_0 k'}{1 - \rho} \times \right. \\
 &\times \left. \frac{\mathbf{u}_0 * \mathbf{k}' + \mathbf{k}' * \mathbf{u}_0}{k'^2} + \left( 1 + \frac{4}{3} sk'^2 \right) \left( \frac{\omega' + u_0 k'}{1 - \rho} \right)^2 \frac{\mathbf{k}' * \mathbf{k}'}{k'^4} \right] \Psi'_{\rho,\rho}(\omega', \mathbf{k}') \\
 \Psi'_{v,w}(\omega', \mathbf{k}') &= \left[ \frac{d \ln K}{d\rho} \mathbf{k}' * \mathbf{u}_0 + \left( 1 + \frac{4}{3} sk'^2 \right) \frac{\omega' + u_0 k'}{1 - \rho} \frac{\mathbf{k}' * \mathbf{k}'}{k'^2} \right] \times \\
 &\times \frac{\omega' + u_0 k'}{(1 - \rho) k'^2} \Psi'_{\rho,\rho}(\omega', \mathbf{k}') \\
 \Psi'_{-\nabla p,\rho}(\omega', \mathbf{k}') &= \frac{4}{3} sk'^2 \frac{\omega' + u_0 k'}{1 - \rho} \frac{\mathbf{k}'}{k'^2} \Psi'_{\rho,\rho}(\omega', \mathbf{k}') \\
 \Psi'_{-\nabla p,v}(\omega', \mathbf{k}') &= \frac{4}{3} sk'^2 \left( \frac{\omega' + u_0 k'}{1 - \rho} \right)^2 \frac{\mathbf{k}' * \mathbf{k}'}{k'^4} \Psi'_{\rho,\rho}(\omega', \mathbf{k}') \\
 \Psi'_{-\nabla p,w}(\omega', \mathbf{k}') &= \frac{4}{3} sk'^2 \left[ \frac{d \ln K}{d\rho} \mathbf{k}' * \mathbf{u}_0 + \left( 1 + \frac{4}{3} sk'^2 \right) \frac{\omega' + u_0 k'}{1 - \rho} \frac{\mathbf{k}' * \mathbf{k}'}{k'^2} \right] \times \\
 &\times \frac{\omega' + u_0 k'}{(1 - \rho) k'^2} \Psi'_{\rho,\rho}(\omega', \mathbf{k}')
 \end{aligned}$$

Величину  $\Psi'_{\rho,\rho}(\omega', \mathbf{k}')$  можно представить в форме [1,2]

$$\begin{aligned}
 \Psi'_{\rho,\rho}(\omega', \mathbf{k}') &= \frac{\mathbf{D}' \mathbf{k}' \mathbf{k}'}{\pi} \frac{\Phi'_{\rho,\rho}(\mathbf{k}')}{M(\omega', \mathbf{k}')}, \quad \Phi'_{\rho,\rho}(\omega', \mathbf{k}') = \frac{\Phi}{k_0^3} Y(k_0' - k') \\
 M(\omega', \mathbf{k}') &= \omega'^2 + \left( \mathbf{D}' \mathbf{k}' \mathbf{k}' - \frac{\text{tr } \mathbf{D}}{\theta_0} \omega'^2 \right), \quad \mathbf{D}' = \frac{\mathbf{D}}{u a}, \quad \theta_0 = \frac{\langle w'^2 \rangle}{u^2} \quad (1.7) \\
 \Phi &= \frac{3}{4\pi} \rho^2 \left( 1 - \frac{\rho}{\rho_*} \right), \quad k_0' = \left( \frac{3\pi\rho}{2} \right)^{1/3} \left( 1 - \frac{\rho}{\rho_*} \right)^{-1/3}, \quad Y(x) = \begin{cases} 1, & x > 0 \\ 0, & x < 0 \end{cases}
 \end{aligned}$$

Отметим, что выражение для  $k_0'$  из (1.7) справедливо только для рассматриваемых здесь локально-однородных суспензий. В [1.7]  $\mathbf{D}$  представляет собой тензор псевдотурбулентной диффузии частиц, рассмотренный подробно в [2], а  $\langle w'^2 \rangle$  — средний квадрат их пульсационной скорости. Очевидно, соотношения (1.6) и (1.7) позволяют вычислить различные корреляционные функции псевдотурбулентности в «равновесном» состоянии. В отличие от кинетической теории газов, где под равновесным понимается пространственно однородное стационарное состояние, здесь под равновесным состоянием подразумеваем, вообще говоря, состояние, в котором функция распределения частиц по скоростям псевдотурбулентных пульсаций  $f$  имеет «квазимаксвелловский» вид (см. п. 4). Подробнее смысл этого понятия проясняется ниже. Отметим, впрочем, что в рамках рассматриваемого здесь приближения Эйлера оба эти определения равновесности совпадают.

Равновесное состояние суспензии формально можно также определить как состояние, в котором справедливы соотношения (1.7) для спектральной плотности случайного процесса  $\rho'$  и следующее из них выражение  $\langle \rho'^2 \rangle = \rho^2 (1 - \rho / \rho_*)$ .

**2. Равновесная структура суспензий.** Для целей работы достаточно рассмотреть только средние от бинарных произведений различных псевдотурбулентных величин. Удобно выбрать координатную ось  $x_1$  в направлении единичного вектора  $u_0$ , определяющего оси симметрии псевдотурбулентных движений.

1°. *Интенсивность пульсаций частиц.* Интегрируя  $\Psi'_{ww}(\omega', k')$  по всем частотам  $\omega'$  и всему волновому пространству  $k'$  и переходя к размерным переменным, получаем следующие выражения для отличных от нуля средних  $\langle w_i' w_j' \rangle$

$$\begin{aligned}\langle w_1'^2 \rangle &= \frac{4\pi\Phi}{3(1-\rho)^2} \left[ n^2(\rho) + \frac{2}{3}n(\rho) \left( 1 + \frac{4}{5}sk_0'^2 \right) + \frac{1}{5} \left( 1 + \frac{8}{5}sk_0'^2 \right) + \right. \\ &\quad \left. + \frac{16}{21}s^2k_0'^4 \right] \left( 1 + \frac{1 + 5/\gamma^2}{1 + 3\gamma^2} \theta_0 \right) u^2, \quad \gamma^2 = \frac{D_2}{D_1 - D_2} > 0, \quad n(\rho) = (1-\rho) \frac{d \ln K}{d\rho} \\ \langle w_2'^2 \rangle \equiv \langle w_3'^2 \rangle &= \frac{4\pi\Phi}{45(1-\rho)^2} \left( 1 + \frac{8}{5}sk_0'^2 + \frac{16}{21}s^2k_0'^4 \right) \left( 1 + \frac{1 + 5\gamma^2}{1 + 3\gamma^2} \theta_0 \right) u^2\end{aligned}$$

Величина  $\gamma^2$  рассматривалась в [2]; обычно  $\gamma^2 \approx 10^{-2} - 10^{-3}$ , поэтому для упрощения считаем далее  $\gamma \approx 0$ . Суммируя выражения (2.1), получаем уравнения для неизвестной  $\theta_0$ . Решая его, имеем следующее представление для  $\theta_0$ :

$$\theta_0 = \frac{4\pi\Phi}{3(1-\rho)^2} \left[ n^2(\rho) + \frac{2}{3}n(\rho) \left( 1 + \frac{4}{5}sk_0'^2 \right) + \frac{1}{3} \left( 1 + \frac{8}{5}sk_0'^2 + \frac{16}{21}s^2k_0'^4 \right) \right] \left[ 1 - \frac{4\pi\Phi}{9(1-\rho)^2} \left( 1 + \frac{8}{5}sk_0'^2 + \frac{16}{21}s^2k_0'^4 \right) \right]^{-1} \quad (2.2)$$

Нетрудно видеть, что  $\theta_0$  неограниченно возрастает при  $\rho \rightarrow \rho^*$ , где  $\rho^*$  — корень уравнения

$$\frac{4\pi\Phi}{9(1-\rho)^2} \left( 1 + \frac{8}{5}rk_0'^2 + \frac{16}{21}s^2k_0'^4 \right) = 1 \quad (2.3)$$

Указанная расходимость представляет собой следствие проведенного выше пренебрежения столкновительной диссилиацией, которое перестает быть правомерным в непосредственной близости от плотноупакованного состояния. Поэтому ясно, что развиваемая здесь теория может быть справедливой, во всяком случае, при  $\rho < \rho^*$ ; однако, как будет видно,  $\rho^*$  весьма незначительно отличается от  $\rho_*$ .

В [2] для конкретных вычислений использовалась аппроксимация

$$K(\rho) \approx \begin{cases} (1-\rho)^{-4.58}, & \rho < \rho_0 = 0.28 \\ \frac{2.2}{25\rho(3(1-\rho)^2)^{-1}}, & \rho > \rho_0 \end{cases}, \quad S(\rho) \approx (1-\rho)^{-2.5} \quad (2.4)$$

Эта аппроксимация  $K(\rho)$  несколько неудобна в том отношении, что вторая производная от  $K(\rho)$  терпит разрыв в точке  $\rho = \rho_0$ , и потому на зависимостях различных величин от  $\rho$  появляются при  $\rho = \rho_0$  угловые точки и в некоторых случаях даже разрывы. Поэтому, используя прежнему выражение (2.4) для  $S(\rho)$ , используем ниже  $K(\rho)$  в форме

$$K(\rho) = \frac{2.2}{(1-\rho)^{2.9}} - 1.2, \quad n(\rho) = \frac{6.38}{2.2 - 1.2(1-\rho)^{2.9}} \quad (2.5)$$

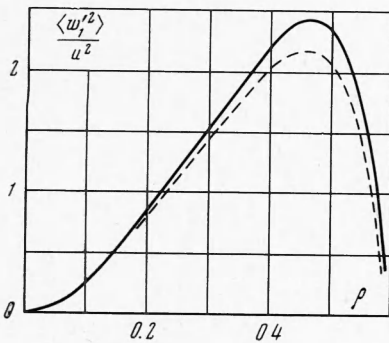
Приводим сравнение значений  $K(\rho)$  из (2.4) и (2.5) в интервале  $\rho$  от 0 до  $\rho_* = 0.60$

$\rho$	0.10	0.20	0.30	0.40	0.50	0.60
$K(2.4)$	1.6202	2.7787	5.1020	9.2593	16.6667	31.2500
$K(2.5)$	1.7862	3.0021	4.9893	8.4780	15.2214	30.1652

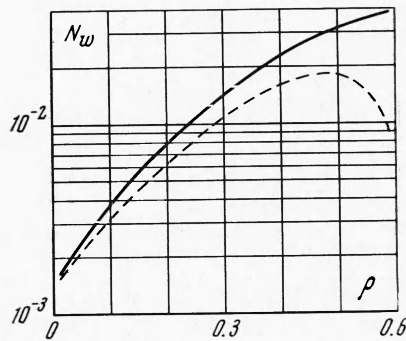
Отсюда видно, что функция (2.5) хорошо приближает  $K(\rho)$  из (2.4), но имеет непрерывные производные.

Подсчет корня  $\rho^*$  уравнения (2.3) при  $\rho_* = 0,60$  приводит к неравенствам  $0,599997 < \rho^* < 0,599998$ , т. е.  $\rho^*$  практически совпадает с  $\rho_*$ .

Зависимости  $\langle w_1'^2 \rangle / u^2$  и  $N_w = \langle w_2'^2 \rangle / \langle w_1'^2 \rangle$  от  $\rho$  приведены на фиг. 1 и 2 сплошными кривыми. Пунктиром обозначены соответствую-



Фиг. 1



Фиг. 2

щие зависимости, следующие из «невязкой» модели  $s = 0$  (см. [2]). Здесь и везде ниже в конкретных расчетах использованы  $S(\rho)$  из (2.4) и  $K(\rho)$  из (2.5),  $\gamma \approx 0$ ,  $\rho_* = 0,60$ .

Отметим, что полученные результаты относятся только к суспензиям твердых частиц. Для капель или пузырьков нужно использовать, конечно, иные представления  $S(\rho)$  и  $K(\rho)$ .

2°. Прочие псевдотурбулентные средние. Из (1.6) и (1.7) получим следующие выражения:

$$\begin{aligned}
 \langle v_1'^2 \rangle &= \frac{4\pi\Phi}{15(1-\rho)^2} \left( 1 + \frac{1+5/3\gamma^2}{1+3\gamma^2} \theta_0 \right) u^2, \quad \langle v_2'^2 \rangle \equiv \langle v_3'^2 \rangle = \frac{4\pi\Phi}{45(1-\rho)^2} \times \\
 &\quad \times \left( 1 + \frac{1+5\gamma^2}{1+3\gamma^2} \theta_0 \right) u^2 \\
 \langle v_1' w_1' \rangle &= \frac{4\pi\Phi}{9(1-\rho)^2} \left[ n(\rho) + \frac{3}{5} \left( 1 + \frac{4}{5} sk_0'^2 \right) \left( 1 + \frac{1+5/3\gamma^2}{1+3\gamma^2} \theta_0 \right) \right] u^2 \\
 \langle v_2' w_2' \rangle \equiv \langle v_3' w_3' \rangle &= \frac{4\pi\Phi}{45(1-\rho)^2} \left( 1 + \frac{4}{5} sk_0'^2 \right) \left( 1 + \frac{1+5\gamma^2}{1+3\gamma^2} \theta_0 \right) u^2 \\
 \langle \rho' v_i' \rangle &= -\frac{4\pi\Phi u}{9(1-\rho)} \delta_{ii}, \quad \langle \rho' w_i' \rangle = \frac{4\pi\Phi}{3(1-\rho)} \left[ n(\rho) + \frac{1}{3} \left( 1 + \frac{4}{5} sk_0'^2 \right) \right] u \delta_{ii} \\
 \left\langle -\frac{\partial p'}{\partial x_i} \rho' \right\rangle &= \frac{16\pi\Phi sk_0'^2}{45(1-\rho)} d_1 \beta K u \delta_{ii} \\
 \left\langle -\frac{\partial p'}{\partial x_1} v_1' \right\rangle &= \frac{16\pi\Phi sk_0'^2}{75(1-\rho)^2} \left( 1 + \frac{1+5/3\gamma^2}{1+3\gamma^2} \theta_0 \right) d_1 \beta K u^2 \\
 \left\langle -\frac{\partial p'}{\partial x_2} v_2' \right\rangle \equiv \left\langle -\frac{\partial p'}{\partial x_3} v_3' \right\rangle &= \frac{16\pi\Phi sk_0'^2}{225(1-\rho)^2} \left( 1 + \frac{1+5\gamma^2}{1+3\gamma^2} \theta_0 \right) d_1 \beta K u^2 \\
 \left\langle -\frac{\partial p'}{\partial x_1} w_1' \right\rangle &= \frac{16\pi\Phi sk_0'^2}{45(1-\rho)^2} \left[ n(\rho) + \left( \frac{3}{5} + \frac{4}{7} sk_0'^2 \right) \left( 1 + \frac{1+5/3\gamma^2}{1+3\gamma^2} \theta_0 \right) \right] d_1 \beta K u^2 \\
 \left\langle -\frac{\partial p'}{\partial x_2} w_2' \right\rangle \equiv \left\langle -\frac{\partial p'}{\partial x_3} w_3' \right\rangle &= \frac{16\pi\Phi sk_0'^2}{225(1-\rho)^2} \left( 1 + \frac{20}{21} sk_0'^2 \right) \left( 1 + \frac{1+5\gamma^2}{1+3\gamma^2} \theta_0 \right) d_1 \beta K u^2 \\
 \langle v_i' v_j' \rangle &= \langle w_i' w_j' \rangle = \langle v_i' w_j' \rangle = \left\langle -\frac{\partial p'}{\partial x_i} v_j' \right\rangle = \left\langle -\frac{\partial p'}{\partial x_i} w_j' \right\rangle = 0, \quad i \neq j
 \end{aligned} \tag{2.6}$$

Используя непосредственно соотношения (1.5), имеем также

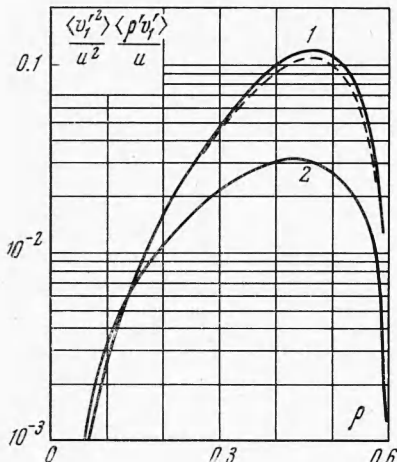
$$\begin{aligned} \left\langle \rho' \frac{dv_i'}{dt} \right\rangle &= \left\langle \rho' \frac{du_i'}{dt} \right\rangle = \left\langle v_i' \frac{dv_j'}{dt} \right\rangle = \left\langle w_i' \frac{dw_j'}{dt} \right\rangle = \left\langle v_i' \frac{dw_j'}{dt} \right\rangle = \\ &= \left\langle w_i' \frac{dv_j'}{dt} \right\rangle = 0 \end{aligned} \quad (2.7)$$

Дифференцирование по времени производится здесь вдоль траектории частицы [1].

Нетрудно видеть, что при  $\gamma \approx 0$  величина  $N_v = \langle v_2'^2 \rangle / \langle v_1'^2 \rangle \approx 1/3$ ; зависимости  $\langle v_1'^2 \rangle / u^2$  и  $\langle \rho' v_1' \rangle / u$  от  $\rho$  показаны на фиг. 3 (кривые 1 и 2 соответственно). Пунктиром показана первая из этих величин при  $s = 0$ . Зависимости других псевдотурбулентных средних от  $\rho$  имеют примерно такой же характер и потому не приводятся.

3°. Средняя сила межфазового взаимодействия. Средняя сила взаимодействия между фазами была вычислена в [1]. Пренебрегая для простоты возможной зависимостью коэффициентов  $\xi$  и  $\eta$  от концентрации  $\rho$ , запишем эту силу в расчете на одну частицу в форме

$$\begin{aligned} \mathbf{F}_i &= -\sigma_0 \frac{\partial p}{\partial r} + \kappa m \beta K^* \mathbf{u} + \\ &+ \kappa m \left( \xi \frac{D\mathbf{u}}{Dt} + \gamma \int_{-\infty}^t \eta \frac{D\mathbf{u}}{Dt'} \Big|_{t=t'} \frac{dt'}{\sqrt{t-t'}} \right) \\ \frac{D}{Dt} &= \frac{\partial}{\partial t} + \mathbf{w} \cdot \frac{\partial}{\partial r}, \\ K^* &= K + \frac{\langle \rho' u' \rangle}{u} \frac{dK}{d\rho} + \\ &+ \frac{1}{2} \langle \rho'^2 \rangle \frac{d^2 K}{d\rho^2}, \mathbf{u}' = \mathbf{v}' - \mathbf{w}' \end{aligned} \quad (2.8)$$



Фиг. 3

Второй член в (2.8) представляет собой силу вязкого межфазового взаимодействия, величина которой в системе хаотически движущихся частиц существенно отличается от величины, характерной для системы относительно неподвижных частиц. Используя (2.6) и (2.8), имеем в равновесном состоянии соотношение

$$K^* = \lambda_K K, \quad \lambda_K = 1 + \frac{4\pi\Phi}{3(1-\rho)^2} \left[ \frac{(1-\rho)^2}{2K} \frac{d^2 K}{d\rho^2} - n(\rho) \left( n(\rho) + \frac{4}{15} s k_0'^2 \right) \right] \quad (2.9)$$

Введенная выше скорость межфазового скольжения  $u$  не совпадает с эффективной скоростью  $u^*$  в промежутках между частицами, определяемой по полному относительному потоку жидкой фазы  $Q$ . Действительно

$$Q = (1-\rho) u^* = (1-\rho) u - \langle \rho' v_1' \rangle, \quad u^* = \lambda_u u, \quad \lambda_u = 1 - \frac{4\pi\Phi}{9(1-\rho)^2} \quad (2.10)$$

В экспериментах силу вязкого взаимодействия выражают обычно через  $Q$  или  $u^*$ , например  $F_1 = \kappa m \beta K_1(\rho) u^*$ . Из (2.9), (2.10) имеем тогда

$$K^* = (\lambda_K / \lambda_u) K_1 \quad (2.11)$$

Коэффициент формулы (2.11) показывает, какую часть от гидравлического сопротивления слоя относительно неподвижных частиц составляет сопротивление эквивалентного по пористости слоя частиц, совершающих развитое псевдотурбулентное движение.

Зависимость величины  $\lambda_K$  от  $\rho$  при  $s \neq 0$  и  $s = 0$  (пунктир) приведена на фиг. 4. Соответствующие кривые для  $\lambda_K / \lambda_u$  лежат лишь очень ненамного выше кривых  $\lambda_K$ . Нетрудно видеть, что  $\lambda_K$  и  $\lambda_K / \lambda_u$  всегда меньше единицы.

Последнее позволяет дать вполне естественное объяснение явлению, известному как «эффект пониженного сопротивления псевдоожиженного слоя» (см., например, [3–6]). Попытки объяснить это очень важное для практики явление предпринимались неоднократно, причем обычно его связывали с наблюдаемой в слое медленной циркуляцией частиц [7,8]. Роль флюктуаций пористости  $\varepsilon = 1 - \rho$  слоя в понижении его гидравлического сопротивления впервые, по-видимому, отмечалась в [6,9]; объяснение аналогичное приведенному выше, дано в [10].

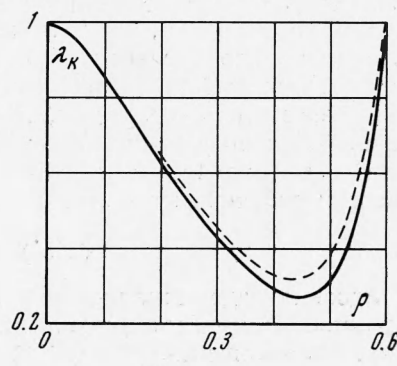
Отметим, что соотношения (2.9) — (2.11) относятся к системе в равновесном состоянии, когда псевдотурбулентность полностью развита. В реальных системах следует, конечно, ожидать существенного влияния границ течения и, в частности, внутренней циркуляции фаз на эффективное гидравлическое сопротивление.

Анализ результатов, полученных в 1 — 3°, показывает, что для суспензий умеренной концентрации хорошие результаты дает также упрощенная модель  $s = 0$ . Существенные отличия ее от модели с  $s \neq 0$  появляются лишь при довольно значительных величинах  $\rho$ . Заметим также, что степень анизотропии псевдотурбулентных движений быстро убывает с увеличением  $\rho$ .

Возрастание псевдотурбулентных средних при  $\rho \rightarrow \rho^*$  происходит фактически лишь в области  $\rho > 0.58$  и на фиг. 1—3 не показано.

**3. Неравновесная структура суспензий и динамические уравнения.** Соотношения, полученные в п. 2, характеризуют псевдотурбулентность суспензии вдали от поверхностей, ограничивающих ее движение, — стенок, решеток, свободных поверхностей и т. п. — в предположении о справедливости выражений (1.7). В действительности, конечно, границы течения, равно как и его нестационарность или неоднородность, способны существенно воздействовать на интенсивность псевдотурбулентности и, в частности, нарушать (1.7). Например, твердые стенки способствуют гашению псевдотурбулентных пульсаций, решетки, проницаемые для жидкой фазы, но не пропускающие частиц, могут в зависимости от степени неравномерности потока жидкости как подавлять, так и усиливать псевдотурбулентность вблизи решетки. Это воздействие в ряде случаев может распространяться на значительные расстояния от границ.

Попытка учесть эту «неравномерность» на основе допущения о том, что она не оказывается на форме соотношений (1.7), т. е. на величине флюктуаций концентрации суспензии, была предпринята в [10]. В этом случае уравнения для различных псевдотурбулентных средних, в частности для энергий пульсаций фаз в разных направлениях, получаются в принципе тем же способом, что и уравнения для корреляционных функций в стати-



Фиг. 4

стической механике турбулентности. При этом разные средние могут зависеть от координат и времени существенно различным образом.

Здесь рассмотрим другую, значительно более простую модель, формулировка которой не требует каких-либо дополнительных допущений. А именно, учитываем, что уравнения (1.1) получаются в [1] после усреднения по  $\Delta t \gg \tau$ , где  $\tau$  — характерный минимальный временной масштаб псевдотурбулентности, совпадающий со временем внутренних взаимодействий в системе, приводящих к установлению локально-равновесного состояния, аналогичного по смыслу, например, состоянию молекулярного хаоса в неоднородном и нестационарном течении газа (см. также обсуждение в [10]). Поэтому уравнения (1.1) можно использовать при анализе не только равновесной, но и локально-равновесной псевдотурбулентности, которая только и рассматривается ниже.

Уравнения (1.1) по-прежнему позволяют выразить все спектральные меры через какую-либо одну, причем в неравновесном состоянии эти выражения будут по форме такими же, что и в равновесном состоянии. Поэтому, если в неравновесном состоянии  $\langle w'^2 \rangle = \theta$ , то для любых псевдотурбулентных переменных в этом состоянии имеем

$$\langle a'b' \rangle = (\theta / \theta_0) \langle a'b' \rangle_0 \quad (3.1)$$

Здесь и везде ниже индекс нуль снизу отмечает величины, относящиеся к равновесному состоянию и вычисленные в п. 2. В частности, из (3.1) ясно, что отношения вида  $\langle a'b' \rangle / \langle c'b' \rangle$  одинаковы как в равновесном, так и в соответствующем неравновесном состояниях. Ниже это обстоятельство широко используется.

Таким образом, проблема описания неравновесной (но локально-равновесной) псевдотурбулентности сводится фактически к получению дополнительного уравнения для единственной скалярной величины  $\theta$ . Такое уравнение рассмотрено в п. 4.

На основании результатов [1] динамические уравнения представляются в форме

$$\begin{aligned} \frac{\partial p}{\partial t} + \frac{\partial}{\partial r} (\rho w) &= 0, \quad \frac{\partial \rho}{\partial t} - \frac{\partial}{\partial r} ((1-\rho)v + q) = 0, \quad q = -\langle \rho' v' \rangle \\ d_2 \rho \left( \frac{\partial}{\partial t} + w \frac{\partial}{\partial r} \right) w &= -\frac{\partial \mathbf{P}^{(p)}}{\partial r} + \frac{\rho}{\sigma_0} \mathbf{F}_i + d_2 \rho \mathbf{q}, \quad \mathbf{P}^{(p)} = d_2 \rho \langle \mathbf{w}' * \mathbf{w}' \rangle \\ d_1 \left[ \frac{\partial}{\partial t} ((1-\rho)v) + \frac{\partial}{\partial r} ((1-\rho)v * v) + \frac{\partial q}{\partial t} \right] &= -\frac{\partial \mathbf{P}^{(f)}}{\partial r} - \frac{\partial p}{\partial r} + \quad (3.2) \\ + \mu_0 \frac{\partial}{\partial r} \left( S \mathbf{e} + \frac{1}{2} \langle \rho'^2 \rangle \frac{d^2 S}{d \rho^2} \mathbf{e} \right) - \frac{\rho}{\sigma_0} \mathbf{F}_i + d_1 (1-\rho) \mathbf{q} \\ \mathbf{e} &= \left\| \frac{\partial v_i}{\partial x_j} + \frac{\partial v_j}{\partial x_i} - \frac{2}{3} \delta_{ij} \frac{\partial v_l}{\partial x_l} \right\|, \quad \mathbf{P}^{(f)} = d_1 [(1-\rho) \langle \mathbf{v}' * \mathbf{v}' \rangle + \mathbf{q} * \mathbf{v} + \mathbf{v} * \mathbf{q}] \end{aligned}$$

При написании (3.3) было учтено тождество  $\langle \rho' e' \rangle \equiv 0$ , следующее непосредственно из (1.5). В пренебрежении зависимостью коэффициентов  $\xi$  и  $\eta$  от  $\rho$  для  $\mathbf{F}_i$  справедливо соотношение (2.8). Еще раз подчеркнем, что псевдотурбулентные величины, входящие в (3.2), в общем случае не совпадают со своими равновесными значениями, определенными выше, а должны вычисляться согласно (3.1).

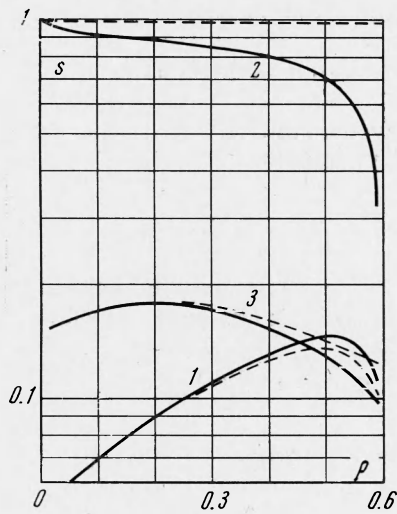
4. Равновесная функция распределения и уравнение переноса псевдотурбулентной энергии частиц. Кинетическое уравнение для системы взвешенных частиц было сформулировано в [1]. В рассматриваемом случае

его можно представить в форме

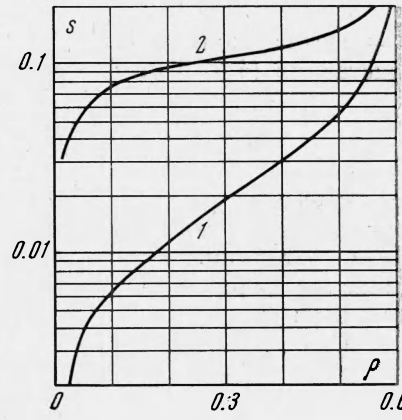
$$\left( \frac{\partial}{\partial t} + \mathbf{w} \frac{\partial}{\partial \mathbf{r}} \right) f + \mathbf{w}' \frac{\partial f}{\partial \mathbf{r}} + \frac{\partial}{\partial \mathbf{w}'} \left[ \left( \mathbf{q} + \frac{\mathbf{F}_i + \mathbf{F}_i''}{m} - \left( \frac{\partial}{\partial t} + \mathbf{w} \frac{\partial}{\partial \mathbf{r}} \right) \mathbf{w} \right) f \right] - \\ - \left( \frac{\partial f}{\partial \mathbf{w}'} * \mathbf{w}' \right) : \left( \frac{\partial}{\partial \mathbf{r}} * \mathbf{w} \right) = \frac{\mathbf{A}}{m} : \left( \frac{\partial}{\partial \mathbf{w}'} * \frac{\partial}{\partial \mathbf{w}'} \right) f, \quad \mathbf{A} : \mathbf{B} = A_{ij} B_{ji} \quad (4.1)$$

Здесь  $\mathbf{F}_i''$  — флуктуации силы взаимодействия частицы с жидкостью фазой, усредненная по условным распределениям в соответствии с методом работы [1],  $\mathbf{A}$  — некоторый неизвестный тензор, описывающий диффузию в пространстве скоростей. Столкновительный член в правой части (4.1)

опущен ввиду сделанного пренебрежения прямыми столкновениями частиц.



Фиг. 5



Фиг. 6

Используя соотношения (2.6), (2.7) и общий метод [1], после вычислений получаем выражения

$$\mathbf{F}_i'' = \kappa m \beta \left[ K (s_{u,ii} + s'_{-\nabla p,ii}) \mathbf{w}' + \frac{dK}{d\rho} s'_{\rho,1} w_1 \mathbf{u}_0 \right] \\ s_{u,ii} = s_{v,ii} - 1, \quad s_{v,ii} = \frac{\langle v_i' w_i' \rangle}{\langle w_i'^2 \rangle}, \quad s'_{\rho,1} = u s_{\rho,1} = \\ = u \frac{\langle \rho' w_1' \rangle}{\langle w_1'^2 \rangle}, \quad s'_{-\nabla p,ii} = \frac{s_{-\nabla p,ii}}{d_1 \beta K \langle w_i'^2 \rangle} = \frac{1}{d_1 \beta K \langle w_i'^2 \rangle} \left\langle - \frac{\partial p'}{\partial x_i} w_j' \right\rangle \quad (4.2)$$

Суммирование по  $i$  здесь не производится; зависимостью  $\xi$  и  $\eta$  от  $\rho$  для простоты пренебрегаем.

Нетрудно видеть, что введенные в (4.2) отношения средних от произведений псевдотурбулентных величин в неравновесном и равновесном состояниях совпадают (см. также п. 3), т. е. не зависят от  $\theta$  и могут рассматриваться как известные функции от динамических переменных. Зависимости  $s_{v,11}$ ,  $s_{v,22}$  и  $s_{\rho,1}$  от  $\rho$ , подсчитанные по результатам п. 2, приведены на фиг. 5 (кривые 1, 2 и 3 соответственно). Зависимости  $s'_{-\nabla p,11}$  и  $s'_{-\nabla p,22}$  от  $\rho$  иллюстрируются кривыми 1 и 2 на фиг. 6. Пунктир на фиг. 5 относится к невязкой модели  $s = 0$ .

Тензор  $\mathbf{A}$  в (4.1) легко определяется по рецептам, предложенным в [1]. А именно, рассмотрим функцию распределения частиц в равновесном со-

стоянии  $f^{(0)}$ , когда уравнение (4.1) с учетом (4.2) принимает вид

$$\begin{aligned} \frac{\partial}{\partial \mathbf{w}'} \left[ \left( \mathbf{g} + \frac{\mathbf{F}_i}{m} + c_2 \mathbf{w}' + (c_1 - c_2) \mathbf{w}_1' \mathbf{u}_0 \right) f^{(0)} \right] &= \frac{\mathbf{A}}{m} : \left( \frac{\partial}{\partial \mathbf{w}'} * \frac{\partial}{\partial \mathbf{w}'} \right) f^{(0)} \\ c_1 &= \kappa \beta \left[ K(s_{u, 11} - s_{-\nabla p, 11}) + \frac{dK}{dp} s_{p, 1}' \right] \\ c_2 &\equiv c_3 = \kappa \beta K(s_{u, 22} - s_{-\nabla p, 22}') \end{aligned} \quad (4.3)$$

Здесь  $c_j$  — некие известные функции динамических переменных. Ввиду осесимметричности псевдотурбулентности можно сразу же принять тензор  $\mathbf{A}$  диагональным, имеющим собственные значения  $A_1, A_2 = A_3$ ; ищем далее решение (4.3) в квазимаксвелловской форме

$$f^{(0)} = n \left( \frac{B_1 B_2 B_3}{\pi^3} \right)^{1/2} \exp(-\sum B_j w_j'^2), \quad B_2 \equiv B_3 \quad (4.4)$$

где  $n$  — счетная концентрация частиц в суспензии.

Подставляя (4.4) в (4.3), приходим к уравнениям

$$\mathbf{g} + \frac{\mathbf{F}_i}{m} = 0, \quad B_j = -\frac{c_j}{2} \frac{m}{A_j} \quad (j = 1, 2, 3) \quad (4.5)$$

Первое из этих уравнений совпадает с уравнением сохранения импульса диспергированной фазы (3.2), рассматриваемой как сплошная среда, в равновесном состоянии.

Вычисляя формально  $\langle w_i'^2 \rangle$  из (4.4) и (4.5), получаем следующие соотношения:

$$\begin{aligned} \frac{A_i}{m} &= -c_i \langle w_i'^2 \rangle_0, \quad \frac{\text{tr } \mathbf{A}}{m} = c \theta_0, \quad c = -\sum c_j M_j, \quad B_j = \frac{1}{2M_j \theta_0} \\ M_1 &= \frac{1}{1 + 2N_w}, \quad M_2 = \frac{N_w}{1 + 2N_w} = M_3 \end{aligned} \quad (4.6)$$

Согласно сказанному выше, величины  $\langle w_i'^2 \rangle_0, \theta_0$  и коэффициенты  $c_j, M_j$  можно рассматривать как известные функции динамических переменных. Таким образом, равенства (4.6) окончательно определяют кинетическое уравнение (4.1) и равновесную функцию распределения.

Используя стандартный прием, получаем из (4.1) следующее уравнение сохранения для величины  $\theta$ :

$$\begin{aligned} \left( \frac{\partial}{\partial t} + \mathbf{w} \frac{\partial}{\partial \mathbf{r}} \right) (\rho \theta) + \rho \theta \frac{\partial \mathbf{w}}{\partial \mathbf{r}} \cdot \frac{\partial \mathbf{q}_\theta}{\partial \mathbf{r}} - 2c \rho \theta + \frac{2}{d_2} \mathbf{P}^{(p)} : \left( \frac{\partial}{\partial \mathbf{r}} * \mathbf{w} \right) &= \\ = 2\rho \frac{\text{tr } \mathbf{A}}{m}, \quad \bar{\mathbf{q}}_\theta &= \sigma_0 \int w'^2 \mathbf{w}' f d\mathbf{w}', \quad \sigma_0 = \frac{4}{3} \pi a^3 \end{aligned} \quad (4.7)$$

Если умножить это уравнение на  $1/2m$ , оно превратится, очевидно, в уравнение переноса псевдотурбулентной энергии частиц, аналогичное уравнению теплопроводности. При этом величина  $1/2m q_\theta$  будет представлять собой псевдотурбулентный поток этой энергии.

Используя (4.6), запишем уравнение (4.7) в иной форме

$$\left( \frac{\partial}{\partial t} + \mathbf{w} \frac{\partial}{\partial \mathbf{r}} \right) (\rho \theta) + \rho \theta \frac{\partial \mathbf{w}}{\partial \mathbf{r}} \cdot \frac{\partial \mathbf{q}_\theta}{\partial \mathbf{r}} + \frac{2}{d_2} \mathbf{P}^{(p)} : \left( \frac{\partial}{\partial \mathbf{r}} * \mathbf{w} \right) = 2c \rho (\theta_0 - \theta) \quad (4.8)$$

Уравнения (4.8) и (3.2) представляют собой полную систему уравнений, определяющих среднее движение суспензии в континуальном приближении. При этом все характеристики псевдотурбулентности, входящие в эти уравнения, определены через  $\theta$  и динамические переменные согласно (3.1)

и результатам п. 2. Единственное исключение составляет величина  $q_\theta$ , вычисление которой требует знания функции распределения в неравновесных условиях.

Формально можно искать решение  $f$  уравнения (4.1) и соответствующее выражение для  $q_\theta$  в виде рядов

$$f = \sum f^{(r)} \varepsilon^r, \quad q_\theta = \sum q_\theta^{(r)} \varepsilon^r \quad (4.9)$$

где через  $\varepsilon$  обозначена малая величина, имеющая порядок отношений масштабов псевдотурбулентности к соответствующим масштабам среднего движения.

В рассматриваемом здесь приближении Эйлера нулевой член в разложении  $f$  по  $\varepsilon$  из (4.9) просто совпадает с функцией  $f^{(0)}$  из (4.4), причем соответствующий член  $q_\theta^{(0)}$  в ряде для  $q_\theta$  тождественно равен нулю. Следующий член в разложении  $q_\theta$  имеет, конечно, порядок  $\varepsilon$  и потому в рассматриваемом здесь приближении Эйлера вообще не должен учитываться. Таким образом, нужно взять  $q_\theta = 0$  в уравнении (4.8).

Во всех следующих приближениях отдельные коэффициенты  $f^{(r)}$  в (4.9) также зависят от  $\varepsilon$ , что обусловлено наличием производных динамических переменных в полных стохастических уравнениях работы [1], приводящих к зависимости от  $\rho$  всех характеристик равновесной псевдотурбулентности и компонент тензора  $A$  в кинетическом уравнении (4.1). Видно, что в таких приближениях необходимо вычислять следующие члены рядов (4.9) вплоть до номера  $r$ , определяемого порядком приближения. По аналогии с кинетической теорией газов и гидродинамикой приближения первого и второго порядков по  $\varepsilon$  уместно назвать гидродинамическими приближениями Навье — Стокса и Барнетта для суспензий.

Отметим, что решения  $\theta$  уравнений (4.7) или (4.8) устойчивы, как это легко видеть, лишь при  $c > 0$ .

Таким образом, в уравнения (4.8) и (3.2), определяющие движение суспензии в приближении Эйлера, входят следующие характеристики равновесной псевдотурбулентности, отличные от нуля

$$P_{ij}^{(p)} \sim \langle w_i' w_j' \rangle \rho, \quad \langle v_i' v_j' \rangle (1 - \rho), \quad q_1 \lambda_K, c \quad (4.10)$$

Поступила 9 X 1969

#### ЛИТЕРАТУРА

- Буевич Ю. А. О гидродинамике однородных суспензий. ПМТФ, 1969, № 6.
- Буевич Ю. А., Марков В. Г. Псевдотурбулентная диффузия частиц в однородных суспензиях. ПМТФ, 1970, № 1.
- Hawkesley P. G. W. The effect of concentration on the settling of suspensions and flow through porous media. In: Some aspects of fluid flow. London, Edward Arnold and Co., 1951.
- Loeffler A. L., Ruth B. F. Particulate fluidization and sedimentation of spheres. AIChE Journal, 1959, vol. 5, No. 3, p. 310.
- Richardson J. F., Mekle R. A. Sedimentation and fluidisation, pt. 3. The sedimentation of uniform fine particles and of two-component mixtures of solids. Trans. Inst. Chem. Engrs, 1961, vol. 39, No. 5, p. 348.
- Дэвидсон И. Ф., Харрисон Д. Псевдоожижение твердых частиц. М., «Химия», 1965.
- Happel J., Brenner H. Viscous flow in multiparticle systems: motion of spheres and a fluid in a cylindrical tube. AIChE Journal, 1957, vol. 3, No. 4, p. 506.
- Adler I. L., Happel J. The fluidization of uniform smooth spheres in liquid media. Chem. Engng. Progr., Symp. Ser., 1962, vol. 58, No. 38, p. 98.
- Тодес О. М. О гидравлическом сопротивлении псевдоожженного слоя. Теор. основы химич. технол., 1967, т. 1, № 4.
- Буевич Ю. А. Гидродинамическая модель дисперсных систем. ПММ, 1969, т. 33, вып. 3.